

# 水中温水噴流について

大 西 外 明\*

## はじめに

最近、原子力・火力発電所の温排水問題が社会的に大きな関心を集めしており、温排水の影響を低減するための努力と共に、影響範囲を適確に予測する手法の確立がいそがれている。

温排水問題は究極的にはエコロジーとの関連で論じなければならないが、“影響範囲”を狭義に“拡散範囲”としてとらえれば、水理学あるいは流体力学の問題となる。

温排水が自然環境におよぼす影響を低減する方法の一つとして、水中放流方式（深層放流方式）が米国を中心とした諸外国において採用され、わが国においても最近とみに注目を集め始めている。著者らは、かねてから、密度成層流体内における流体の拡散現象を数値シミュレーションすることを研究してきた。本論では、その成果を水中放流のなかでも特に混合希釈効果のすぐれた多孔管放水口からの温水噴流に適用する考えについて述べる。また、水中放水口からの温水噴流に関する現地観測結果の例を紹介し、あわせて多孔管放水口が採用されるに至った背景につき説明する。

## 1. 水中放流と表層放流

冷却水等を放流する方式は、放水口の位置のいかんによって、水中放流方式と表層放流方式に分類することができよう。水中放流方式は、放水口を海底付近に置いて冷却水を噴出するもので、周囲の水との混合を強制して短時間内に水温の低下を期待するものである。表層放流方式は、放水口を沿岸部におき、水面に沿って冷却水を放流するもので、周囲の水との混合と大気との熱交換によって水温の低下を期待するものである。水中放流方式のもっとも単純なものは、大口径の放水管を水中に開口させる方式である。一方、米国等では温水噴流の混合希釈をより有効に促進するために多孔管放水口が注目されつつある。

図-1は、表層放流、大口径水中放水口、多孔管放水口から冷却水を放流した場合の水面における等温線を示すものである<sup>1)</sup>。放流量は $20 \text{ m}^3/\text{sec}$ である。大口径水中放水口は直径 $3.3 \text{ m}$ の円管を水平に対して $20^\circ$ 上向きにおいたものであり、水深は約 $10 \text{ m}$ である。多孔管放水口は直径 $2.4 \text{ m}$ の主水管の頂部に垂直ノズルを取りつけたものであり、放流速度は約 $2 \text{ m/sec}$ である。放

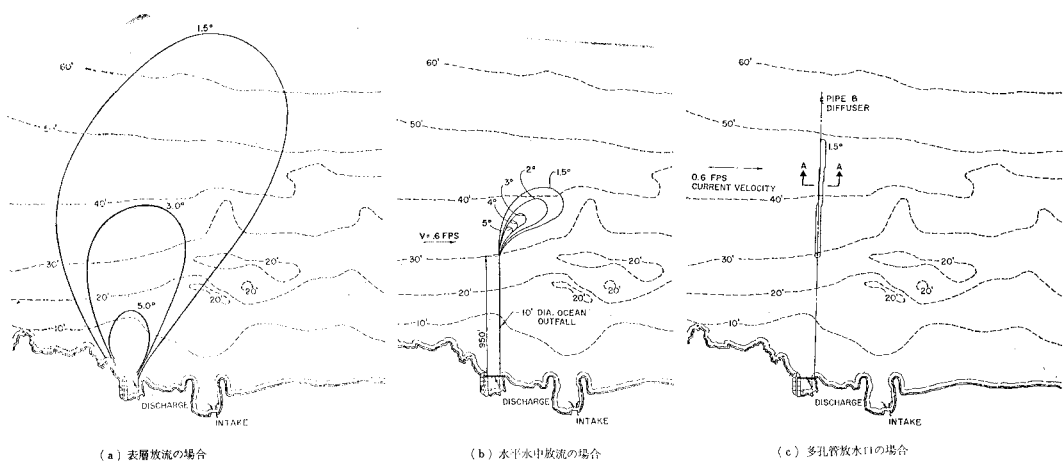


図-1 各種放水口の比較

\* 正会員 工博 電源開発(株)原子力調査室

水口部の水深は8m~15mである。

図-1の水温分布は共に単純化された理論解析により求めたものであるが、水中放水口とくに多孔管放水口の顕著な混合希釈効果をみることができる。

## 2. 多孔管放水口への二次元温水噴流理論の適用

流体中に噴出される流体は噴流(jet)やプリューム(plume)とよばれている。噴流は噴出孔で浮力が働くかない場合の流れを、また、プリュームは噴出孔で浮力の作用があるものを意味している。冷却水のような温水噴流は、表層放流の場合であれ、水中放流の場合であれ、プリュームとして取り扱うことができる。

著者ら<sup>2),3)</sup>は密度成層流体内での温水噴流の拡散現象のシミュレーションについて検討しているが、その成果を多孔管放水口に適用することを考えてみる。

図-2のように、 $l$ だけ離した直径 $D$ の噴出孔からなる温水噴流を考える。隣接する円型噴流は互に干渉し合うが、図-2に示す遷移領域をすぎると、温排水流は直

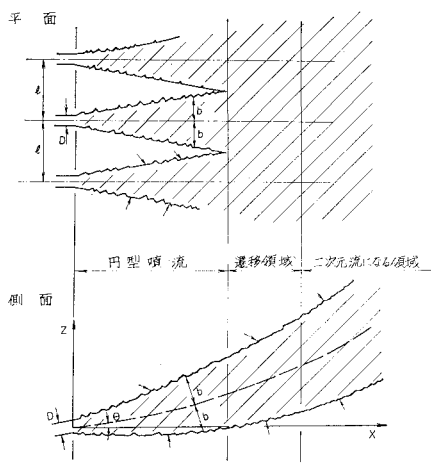


図-2 多孔管放水口からの温水噴流

線型放水口からの温水噴流と同様の性状を呈するようになる。この二次元流とみなしてもよい、つまり遷移領域の終端を判定する基準のえらび方には次の二つの考え方がある。その一つは、円形噴流の径を $2b$ とした場合に次の関係がなりたつ位置をもって遷移領域の終端とするものである。

$$b = l/2 \quad \dots \dots \dots (1)$$

この条件は明確な理論的根拠に基づくものではなく、むしろ直観的なものであるといえる。

もう一つの考え方とは、円形噴流への周辺水の連行加入量と直線型噴流へのそれとが等しくなる位置をもって遷移領域の終端とする方法である。

Kohら<sup>4)</sup>によると、いずれの考え方によっても差は

ほとんどない。また、Cederwall<sup>5)</sup>は、遷移領域の終端位置における平均希釈度を、多孔管放水口の場合と、以下の式(2)によって多孔管放水口を直線型放水口と考えた場合について比較検討を行い、式(3)の関係があると報告している。

$$B = \frac{D^2 \pi}{4l} \quad \dots \dots \dots (2)$$

( $B$ は直線型放水口の幅、 $D$ は多孔管放水口の噴出孔径、 $l$ は多孔管の噴出口の間隔)。

浮力が作用しない噴流(simple jet)の場合

$$\left. \begin{array}{l} \text{多孔管放水口の場合の平均希釈度} = 0.95 \\ \text{直線型放水口の場合の平均希釈度} \end{array} \right\}$$

温水噴流の場合  
 $R = 0.78$

.....(3)

また、ShiraziとDavis<sup>6)</sup>は、温水噴流中心軸上の希釈度 $S_e$ を、多孔管放水口と直線型放水口の場合について比較して図-3の結果をえている。図中の横軸はフルード数であり、次の関係式により定義される。

$$F_s = \frac{u_0}{\left(\frac{\rho_a - \rho_0}{\rho_a} g B\right)^{1/2}}, \quad (\text{直線型放水口の場合})$$

.....(4a)

$$F_s = \frac{u_0}{\left(\frac{\rho_a - \rho_0}{\rho_a} g D\right)^{1/2}} \cdot \left(\frac{4l}{\pi D}\right)^{1/2},$$

(多孔管放水口の場合).....(4b)

ここに、 $u_0$ は噴出速度、 $\rho_a$ は環境水の密度、 $\rho_0$ は放水口における温水噴流の密度である。

図-3によっても、多孔管放水口を直線型放水口で近

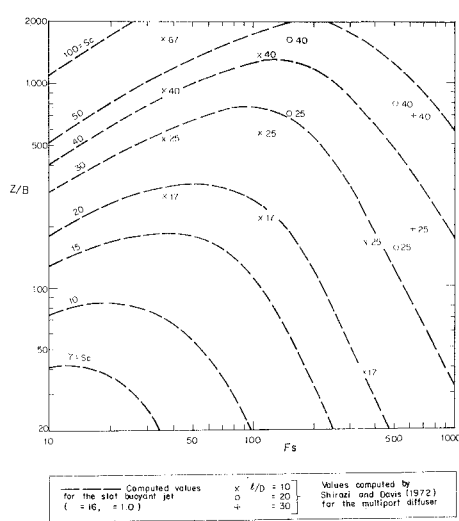


図-3 多孔管放水口と直線型放水口からの温水噴流軸上の希釈度 $S_e$ の比較  
(水平放流の場合)

似することの妥当性を知ることができる。

次に、多孔管放水口の場合、図-4に示すように主水管の両側に噴出孔を千鳥状に取りつける設計方法が考えられる。この場合には主水管の両側から出た噴流は、横方向で干渉し合い浮力をうけながら上昇していく。両側の噴流に囲まれた領域では圧力が低下して、その結果、噴流は次第に彎曲して主水管上にかぶさるようになる。

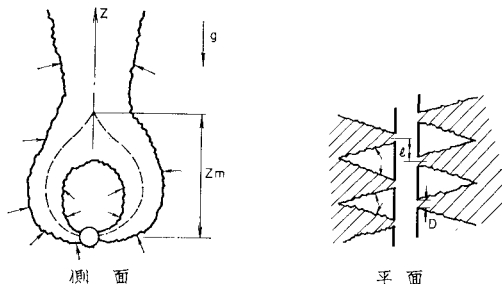


図-4 千鳥状多孔管放水口の流れ（水平放流の場合）

両側の噴流が重なり合ったのちは、流れは二次元温水噴流の様相を呈する。二つの温水噴流が重ね合さる位置 $Z_m$ （図-4 参照）は Liseth<sup>7)</sup>によると

$$\frac{Z_m}{l} \approx \left( \frac{\rho_a - \rho_0}{\rho_a} g D \right)^{1/2} \cdot \left( \frac{4l}{\pi D} \right)^{1/2} \quad \dots \dots \dots (5)$$

の関係がある。

$Z_m$  より上部の領域では、温水噴流は二次元流と近似的に考えることができる。

### 3. 有限水深水域での水中温水噴流

われわれが現場で遭遇する問題では、水面の影響を無視しえないことが多い。水中放水口から出た温水噴流が水面付近に達すると水面を若干隆起させたあと、ある厚さをもって水面ぞいに横方向に拡がっていくことは、一般によく知られている。図-5 は海底に開口した鉛直管

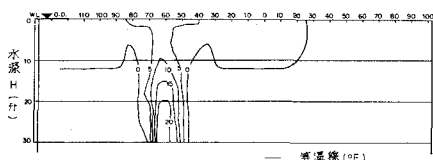


図-5 Heysham 発電所水中温水噴流

からの水中温水噴流の温度分布の一例である。これは Heysham 原子力発電所の温排水計画に関連して、Anwer<sup>8)</sup>が行った実験結果である。この図にみられるように、温水噴流が水面付近で水平方向に転じた直後に、等温線は水面に最も接近し、その後はなだらかに低下して、ほぼ一様厚さの表層流になって横方向に拡がっていく。似たような現象は二次元温水噴流に関する著者らの

解析結果<sup>2)</sup>でも認められた。Jirka と Harleman<sup>9)</sup>も同様な等温線形状が生じることを報告している。このような有限水深の水域での水中噴流を取り扱う場合には、表層の温水流の厚さの下面までは自由水面の影響を無視した噴流理論を適用できるものと考えることができる。表層流の厚さについては、たとえば Abraham<sup>10)</sup>の実験値がある。Abraham によると、二次元水中温水噴流の表層流厚さは、噴流長のおよそ 1/4 である。また、Jirka と Harleman は二次元水中温水噴流を 図-6 のように、特性を異にする 5 つの領域に分けて考えている。領域 ① は水面の影響を無視して従来の噴流理論を適用できる領域である。領域 ② は水中温水噴流が水平方向に流向をかえる遷移領域である。この領域より下流の表層温水流は、この領域の流れの特性により大きく影響される。

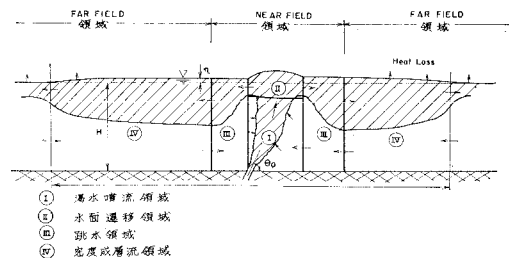


図-6 二次元温水噴流の水理構造

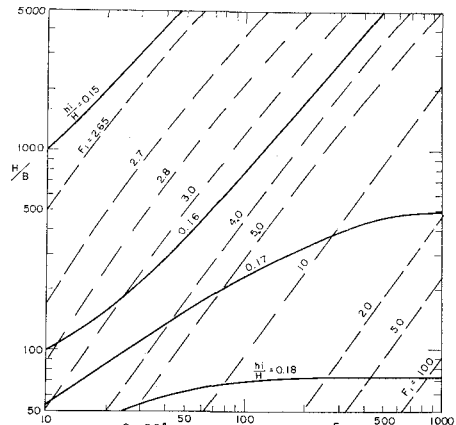


図-7 表層流の厚さ  $h_i$  とフルード数  $F_s$

図-7 は、直線型放水口から鉛直方向に放流した水中温水噴流について Jirka らが解析した結果を示す。図中の記号の意味は次のとおりである。

B: 放水口幅

H: 放流水域の水深

$h_i$ : 領域 ② の平均厚さ

$$F_s = u_1 \left( \frac{\rho_1 - \rho_a}{\rho_a} g h_i \right)^{-1/2} \quad \dots \dots \dots (6)$$

ここに、 $u_1$  は領域 ② の平均流速、 $\rho_1$  は領域 ② の流

体密度である。また、図中の  $F_s$  は式(4a)により定義される温水噴流のフルード数である。

図-7 から、領域⑪の平均厚さ  $h_i$  が  $F_s$  と  $H/B$  によって影響をうける度合は少なく、ほぼ全水深  $H$  の  $1/6$  程度であることがわかる。また、この図から実際上の多くの場合において、 $F_1 \gg 1$  であると考えられる。

いま、表-1 に示す特性を有する二層密度成層流を考えると

$$F = F_1'^{1/2} + F_2^{1/2} \quad \dots \dots \dots (7)$$

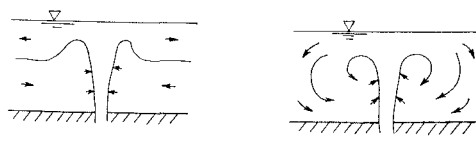
表-1 二層密度成層流の特性

	表層流	下層流
流速	$u_1'$	$u_2$
流水の密度	$\rho_1'$	$\rho_a$
流れの厚さ	$h_1'$	$h_2$
フルード数	$F_1' = u_1 \left( \frac{\rho_1' - \rho_2}{\rho_a} g h_1 \right)^{-1/2}$	$F_2 = u_2 \left( \frac{\rho_1' - \rho_2}{\rho_a} g h_2 \right)^{-1/2}$

によって定義される  $F$  が、 $F > 1$  の場合に跳水現象が生じることがよく知られている。先に述べたように、 $F_1 \gg 1$  したがって  $F > 1$  であることから、領域⑪の下流部で跳水が生じて跳層面が下方に移動することになる。

跳水領域より下流の流れの状態は、放水の条件のいかんによって、図-8 に示す二通りのパターンが存在しうる。Jirka と Harleman は、この二つの流れのパターンが存在しうる限界条件について検討し、図-9 の関係があることを示している。

領域⑩は上層と下層で流れの方向が逆になる密度成



(a) 安定状態

(b) 不安定状態

図-8 温水噴流の安定性

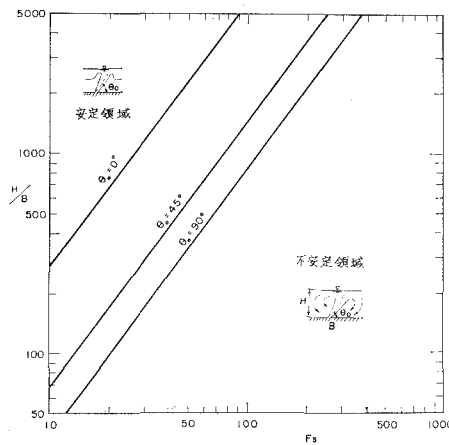


図-9 温水表層流の安定性

層流存在するいわゆる far-field に属する水域である。上層には浮力をうける温水流が流れ、下層には温水噴流内の冷水の連行加入に伴って誘起される放水口の方向に向う流れが存在する。

領域①, ⑪, ⑩で構成される“near-field 領域”では放流水の水温低下は混合希釈によって支配される。また、領域⑩の“far-field 領域”では主として水面における大気中への熱放出と自然水域中の乱れによって水温が低下していくことになる。

### 3. 水中温水噴流の現地実測例

温排水に関する水理現象を解明するためには、数値シミュレーション、水理模型実験や理論解析等の手法と共に、現地観測がきわめて重要な役割を果たすことは広く知られている所である。表層放流の場合については、わが国においても相当な技術的蓄積があり、各地の火力・原子力発電所における水温分布の現地実測結果がまとめられつつある。一方、水中放流式放水口については、わが国のいくつかの発電所で計画中であると伝えられるものの、実際に操業されているものはない。米国ではこの方式の歴史が古く、したがって実測資料の蓄積も多いようである。たとえば、カリフォルニア沿岸で現在運転中のサン・オノフレ 1号炉 (PWR, 出力 450 MW, 1964 年完成) では、図-10 に示すような鉛直単管放流方式を

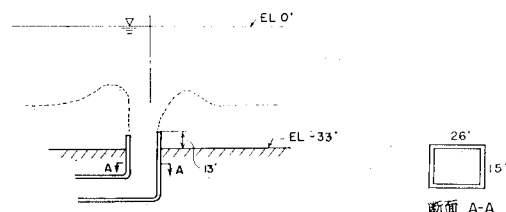


図-10 サン・オノフレ 1号発電所放水口略図

採用し、隔月ごとに水温分布等を測定して州政府に報告している。図-11, 図-12 は 1973 年 4 月の実測例を示すものである。測定時の発電所運転条件および水温が上昇する水面積をまとめると表-2 のとおりである。なお、測定時の冷却水流量は 350 000 gal/min である。

表-2 サン・オノフレ 1号炉における海水温の変化

出力 (MW)	450
潮位 (ft)	4.2
海の自然表面水温	58
復水器通過時の水温上昇 $\Delta T$	18
水温 $1^{\circ}F$ 上昇位置の最大距離 (ft)	5 000
水温 $1^{\circ}F$ 上昇の水面積 (ft <sup>2</sup> )	505
水温 $2^{\circ}F$ 上昇位置の最大距離 (ft)	2 900
水温 $2^{\circ}F$ 上昇の水面積 (ft <sup>2</sup> )	162
水温 $3^{\circ}F$ 上昇位置の最大距離 (ft)	1 350
水温 $3^{\circ}F$ 上昇の水面積 (ft <sup>2</sup> )	26
水温 $4^{\circ}F$ 上昇位置の最大距離 (ft)	400
水温 $4^{\circ}F$ 上昇の水面積 (ft <sup>2</sup> )	5

ましい角度と目されている。

### おわりに

本報告は、昨秋渡米の折、米国環境庁 Shirazi 博士、MIT の Harleman, Stolzenbach 両教授および Hirst 博士、CIT の Brooks 教授、Bechtel 社 Ryan 博士、南カリフォルニア電力等を訪問、討論した内容を基にまとめたものである。筆者の思い違いの点もあろうかと危惧しているが各位の御指摘を願うもの

である。上記の方々の親切な討論に心から謝意を表したい。また、アポイントメントの面で多くの方々の力をかかりましたが、特に、東京工業大学日野幹雄教授、東京大学玉井信行助教授に面倒をお願いした。記して、謝意を表する。

### 参考文献

- Riesbol, H.S. (1972): Zone of mixing for Kahe power plant, Testimony of Department of Health, Public Hearing.
- 日野幹雄・大西外明・羽生正範 (1974): Deardorff モデルによる乱流のシミュレーション、第 18 回水理講演会講演集。
- 日野幹雄・大西外明・羽生正範 (1975): 水中温水噴流の数値シミュレーション、第 22 回海岸工学講演会論文集。
- Koh, R.C.Y. and Fan, L.N. (1970): Mathematical models for the prediction of temperature distributions resulting from the discharge of heated water in large bodies of water, EPA Water Pollution Control Research Series, 16130 DWO.
- Cederwall, K. (1971): Buoyant slot jets into stagnant or flowing environments, W. K. Keck Lab. for Water Res. and Hydro. Report No. KH-R-25. CIT.
- Shirazi, M.A. and Davis, L.A. (1972): Workbook on thermal plume prediction, Vol. 1, Submerged discharges. EPA Water Pollution Control Research Series, 16130 FHH.
- Liseth, P. (1970): Mixing of merging buoyant jets from a manifold in stagnant receiving water of uniform density, Hydr. Eng. Lab. CIT. Rep. No. HEL 23-1.
- Anwer, H.O. (1969): Hysham power station model study of outfall, Report No. Ex 429. Hyd. Res. St. Wallingford.
- Jirka, G. and Harleman, R.F.: The mechanics of submerged multiport diffusers for buoyant discharge in shallow water, Ralph M. Parsons Lab. MIT. Rep. No. 169.
- Abraham, G. (1963): Jet diffusion in stagnant ambient fluid, Delft Hyd. Lab. Publ. No. 29.

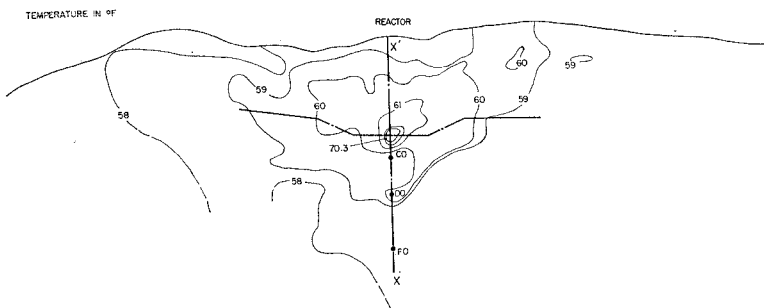


図-11 サン・オノフレ 1号発電所温排水時の水温水平分布

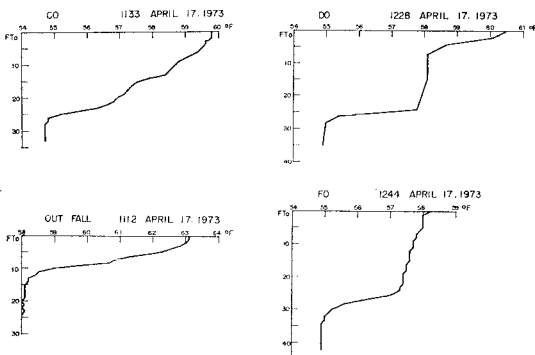


図-12 サン・オノフレ 1号発電所水温の鉛直分布

現在、この発電所に隣接してサン・オノフレ 2号炉、3号炉（おのの PWR、出力 1 100 MW）が建設中であるが、この両発電所では放水口形式として、多孔管放水口を採用することになっている。この形式の採用の理由として、一つは発電所規模の大型化と、もう一つは、温排水の規制に合致させるための努力とがあげられる。

カリフォルニア州では、サン・オノフレ 1号炉が完成したのちに発電所を対象とした温排水基準を設けて、1 000 ft × 1 000 ft の混合領域の外側水域では  $\Delta T \leq 4^{\circ}\text{F}$  ( $2.2^{\circ}\text{C}$ ) の条件を満たすべきことを要求した。同発電所 1号炉では、表-2 に示したように、 $\Delta T = 4^{\circ}\text{F}$  の水面積は放水口のごく近い部分に限られており、また  $\Delta T = 4^{\circ}\text{F}$  以上に水温が上昇する層の厚さは、水表面部の比較的うすい、つまり、2 m 以下の層部分に限られており、州規制にてらして特に問題となる点はない。しかし、2号、3号炉では、冷却水量が大幅に増加するために、1号炉と同形式の放水口の採用が不可能となり、検討の結果、多孔管放水口を採用することになったものである。いまの計画では、ノズル数を 64 個として、放流方向を水平に対し  $20^{\circ}$  上向きにすることになっている。なお、この  $20^{\circ}$  という放水角度は、希釈混合を有効にすすめるために好